

Technische Information / Technical Information

Netz-Thyristor-Modul
Phase Control Thyristor Module

TZ 600 N 08...14

eupc

N



Elektrische Eigenschaften / Electrical properties

Höchstzulässige Werte / Maximum rated values

Periodische Vorwärts- und Rückwärts-Spitzenperrspannung repetitive peak forward off-state and reverse voltages	$T_{vj} = -40^{\circ}\text{C} \dots T_{vj\ max}$	V_{DRM}, V_{RRM}	800, 1000 1200, 1400	V V
Vorwärts-Stoßspitzenperrspannung non-repetitive peak forward off-state voltage	$T_{vj} = -40^{\circ}\text{C} \dots T_{vj\ max}$	V_{DSM}	800, 1000 1200, 1400	V V
Rückwärts-Stoßspitzenperrspannung non-repetitive peak reverse voltage	$T_{vj} = +25^{\circ}\text{C} \dots T_{vj\ max}$	V_{RSM}	900, 1100 1300, 1500	V V
Durchlaßstrom-Grenzeffektivwert RMS on-state current		I_{TRMSM}	1050	A
Dauergrenzstrom average on-state current	$T_C = 85^{\circ}\text{C}$ $T_C = 77^{\circ}\text{C}$	I_{TAVM}	600 670	A A
Stoßstrom-Grenzwert surge current	$T_{vj} = 25^{\circ}\text{C}, t_p = 10\text{ms}$ $T_{vj} = T_{vj\ max}, t_p = 10\text{ms}$	I_{TSM}	17000 14000	A A
Grenzlastintegral I^2t -value	$T_{vj} = 25^{\circ}\text{C}, t_p = 10\text{ms}$ $T_{vj} = T_{vj\ max}, t_p = 10\text{ms}$	I^2t	1445000 980000	A ² s A ² s
Kritische Stromsteilheit critical rate of rise of on-state current	DIN IEC 747-6 $f = 50\text{Hz}, i_{GM} = 1\text{A}, di_G/dt = 1\text{A}/\mu\text{s}$	$(di_T/dt)_{cr}$	200	A/ μs
Kritische Spannungssteilheit critical rate of rise of off-state voltage	$T_{vj} = T_{vj\ max}, V_D = 0,67 V_{DRM}$ 6. Kennbuchstabe / 6th letter F	$(dv_D/dt)_{cr}$	1000	V/ μs

Charakteristische Werte / Characteristic values

Durchlaßspannung on-state voltage	$T_{vj} = T_{vj\ max}, i_T = 1700\text{A}$	V_T	max.	1,53	V
Schleusenspannung threshold voltage	$T_{vj} = T_{vj\ max}$	$V_{(TO)}$		0,9	V
Ersatzwiderstand slope resistance	$T_{vj} = T_{vj\ max}$	r_T		0,27	m Ω
Zündstrom gate trigger current	$T_{vj} = 25^{\circ}\text{C}, V_D = 6\text{V}$	I_{GT}	max.	250	mA
Zündspannung gate trigger voltage	$T_{vj} = 25^{\circ}\text{C}, V_D = 6\text{V}$	V_{GT}	max.	2,2	V
Nicht zündender Steuerstrom gate non-trigger current	$T_{vj} = T_{vj\ max}, V_D = 6\text{V}$ $T_{vj} = T_{vj\ max}, V_D = 0,5 V_{DRM}$	I_{GD}	max.	10	mA
Nicht zündende Steuerspannung gate non-trigger voltage	$T_{vj} = T_{vj\ max}, V_D = 0,5 V_{DRM}$	V_{GD}	max.	5	mA
Haltestrom holding current	$T_{vj} = 25^{\circ}\text{C}, V_D = 6\text{V}, R_A = 5\Omega$	I_H	max.	300	mA
Einraststrom latching current	$T_{vj} = 25^{\circ}\text{C}, V_D = 6\text{V}, R_{GK} \geq 10\Omega$ $i_{GM} = 1\text{A}, di_G/dt = 1\text{A}/\mu\text{s}, t_G = 20\mu\text{s}$	I_L	max.	1500	mA
Vorwärts- und Rückwärts-Sperrstrom forward off-state and reverse currents	$T_{vj} = T_{vj\ max}$ $V_D = V_{DRM}, V_R = V_{RRM}$	i_D, i_R	max.	140	mA
Zündverzug gate controlled delay time	DIN IEC 747-6 $T_{vj} = 25^{\circ}\text{C}, i_{GM} = 1\text{A}, di_G/dt = 1\text{A}/\mu\text{s}$	t_{gd}	max.	4	μs
Freiwerdezeit circuit commutated turn-off time	$T_{vj} = T_{vj\ max}, i_{TM} = 600\text{A}$ $V_{RM} = 100\text{V}, V_{DM} = 0,67 V_{DRM}$ $dv_D/dt = 20\text{V}/\mu\text{s}, -di_T/dt = 10\text{A}/\mu\text{s}$ 5. Kennbuchstabe / 5th letter O	t_q	typ.	250	μs
Isolations-Prüfspannung insulation test voltage	RMS, $f = 50\text{Hz}, t = 1\text{min}$ RMS, $f = 50\text{Hz}, t = 1\text{sec}$	V_{ISOL}		3,0 3,6	kV kV

**Thermische Eigenschaften / Thermal properties:**

Innerer Wärmewiderstand thermal resistance, junction to case	pro Modul / per module, $\Theta = 180^\circ \sin \theta$ pro Modul / per module, DC	R_{thJC}	max. 0,065 °C/W max. 0,062 °C/W
Übergangs-Wärmewiderstand thermal resistance, case to heatsink	pro Modul / per module	R_{thCK}	max. 0,020 °C/W
Höchstzulässige Sperrschichttemperatur max. junction temperature		$T_{vj\ max}$	135 °C
Betriebstemperatur operating temperature		$T_{c\ op}$	- 40...+135 °C
Lagertemperatur storage temperature		T_{stg}	- 40...+140 °C

Mechanische Eigenschaften / Mechanical properties:

Gehäuse, siehe Anlage case, see appendix			Seite 3 page 3
Si-Elemente mit Druckkontakt, Amplifying-Gate Si-pellets with pressure contact, amplifying-gate			
Innere Isolation internal insulation			AlN
Anzugsdrehmoment für mechanische Befestigung mounting torque	Toleranz / tolerance ±15%	M1	5 Nm
Anzugsdrehmoment für elektrische Anschlüsse terminal connection torque	Toleranz / tolerance +5% / -10%	M2	12 Nm
Gewicht weight		G	typ. 900 g
Kriechstrecke creepage distance			15 mm
Schwingfestigkeit vibration resistance	f = 50Hz		50 m/s²

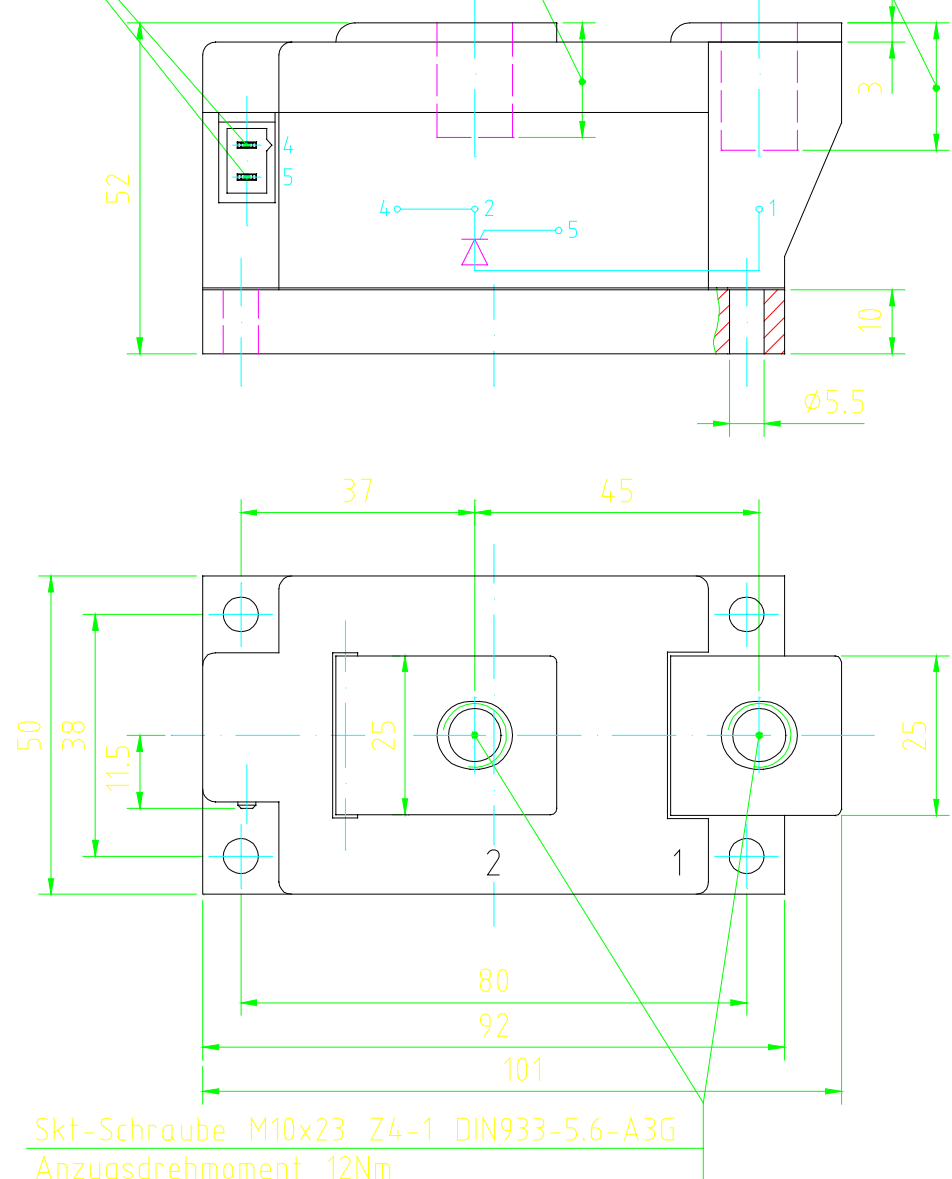
Mit dieser technischen Information werden Halbleiterbauelemente spezifiziert, jedoch keine Eigenschaften zugesichert. Sie gilt in Verbindung mit den zugehörigen Technischen Erläuterungen. / This technical Information specifies semiconductor devices but promises no characteristics. It is valid in combination with the belonging technical notes.



Flachstecker
A2.8x0.8 DIN46244

Einschraubtiefe
max. 18.0

Einschraubtiefe
max. 20.0



Analytische Elemente des transienten Wärmewiderstandes Z_{thJC} für DCAnalytical elements of transient thermal impedance Z_{thJC} for DC

Pos. n	1	2	3	4	5	6	7
$R_{thn} [^{\circ}\text{C} / \text{W}]$	0,00137	0,00486	0,01140	0,02230	0,02210		
$\tau_n [\text{s}]$	0,00076	0,00860	0,10100	0,56000	3,12000		

Analytische Funktion: $Z_{thJC} = \sum_{n=1}^{n_{\max}} R_{thn} \left(1 - e^{-\frac{t}{\tau_n}} \right)$